

Problem 1

定义 $T_n(x)$ 为 n 阶 Chebyshev 多项式, $\lambda_1, \dots, \lambda_n$ 为其 n 个零点, 积分公式可以写为,

$$\int_{-1}^1 \frac{1}{\sqrt{1-x^2}} f(x) dx \approx \sum_{k=1}^n A_k \lambda_k = \sum_{k=1}^n A_k \cos \frac{(2k-1)\pi}{2n}.$$

Chebyshev 多项式具有性质,

$$\int_{-1}^1 \frac{1}{\sqrt{1-x^2}} T_i(x) T_j(x) dx = \begin{cases} 0, & i \neq j; \\ \pi, & i = j = 0; \\ \pi/2, & i = j \neq 0. \end{cases}$$

定义如下的矩阵 Q ,

$$Q = (q_1, q_2, \dots, q_n) = \begin{pmatrix} T_0(\lambda_1) & T_0(\lambda_2) & \cdots & T_0(\lambda_n) \\ T_1(\lambda_1) & T_1(\lambda_2) & \cdots & T_1(\lambda_n) \\ \vdots & \vdots & \ddots & \vdots \\ T_{n-1}(\lambda_1) & T_{n-1}(\lambda_2) & \cdots & T_{n-1}(\lambda_n) \end{pmatrix}.$$

利用 Gauss 型积分公式对于 $2n$ 次多项式精确成立,

$$\int_{-1}^1 \frac{1}{\sqrt{1-x^2}} T_i(x) T_j(x) dx = \sum_{k=1}^n A_k \lambda_k = \begin{cases} 0, & i \neq j; \\ \pi, & i = j = 0; \\ \pi/2, & i = j \neq 0. \end{cases}$$

写成矩阵形式为,

$$Q \text{diag}\{A_1, A_2, \dots, A_n\} Q^\top = \text{diag}\{\pi, \pi/2, \dots, \pi/2\}.$$

定义归一化的特征向量矩阵,

$$\tilde{Q} = (\tilde{q}_1, \tilde{q}_2, \dots, \tilde{q}_n) = \left(q_1 \sqrt{\frac{1}{\pi}}, q_2 \sqrt{\frac{2}{\pi}}, \dots, q_n \sqrt{\frac{2}{\pi}} \right)$$

可以得到,

$$\begin{aligned} \tilde{Q} \text{diag}\{A_1, A_2, \dots, A_n\} \tilde{Q}^\top &= I_n \\ \text{diag}\{A_1, A_2, \dots, A_n\} \tilde{Q} \tilde{Q}^\top &= I_n \end{aligned}$$

因此可以求解积分公式中的系数,

$$\begin{aligned}
A_k &= \left(\sum_{j=0}^{n-1} \tilde{q}_{k,j}^2 \right)^{-1} \\
&= \left(\frac{1}{\pi} + \frac{2}{\pi} \sum_{j=1}^{n-1} \cos^2 \left(\frac{j(2k-1)\pi}{2n} \right) \right)^{-1} \\
&= \left(\frac{1}{\pi} + \frac{1}{\pi} \sum_{j=1}^{n-1} \cos^2 \left(\frac{j(2k-1)\pi}{2n} \right) + \frac{1}{\pi} \sum_{j=1}^{n-1} \cos^2 \left(\frac{(n-j)(2k-1)\pi}{2n} \right) \right)^{-1} \\
&= \left(\frac{1}{\pi} + \frac{1}{\pi} \sum_{j=1}^{n-1} \cos^2 \left(\frac{j(2k-1)\pi}{2n} \right) + \cos^2 \left(k - \frac{\pi}{2} - \frac{j(2k-1)\pi}{2n} \right) \right)^{-1} \\
&= \left(\frac{1}{\pi} + \frac{1}{\pi} \sum_{j=1}^{n-1} \cos^2 \left(\frac{j(2k-1)\pi}{2n} \right) + \sin^2 \left(\frac{j(2k-1)\pi}{2n} \right) \right) \\
&= \frac{n}{\pi}
\end{aligned}$$

因此Gauss-Chebyshev积分公式可以写为,

$$\int_{-1}^1 \frac{1}{\sqrt{1-x^2}} f(x) dx \approx \sum_{k=1}^n A_k \lambda_k = \frac{n}{\pi} \sum_{k=1}^n \cos \frac{(2k-1)\pi}{2n}.$$

Problem 2

对于三次样条插值, 设 $f'(x_i)$ 为自变量, 可以写出其对应的线性方程组, 解得后代入每一个区间 $[x_i, x_{i+1}]$ 上的如下插值公式即可获得对应的查询点 x 的插值结果,

$$\begin{aligned}
f_i(x) &= f(x_i) \phi \left(\frac{x_{i+1} - x}{x_{i+1} - x_i} \right) + f(x_{i+1}) \phi \left(\frac{x - x_i}{x_{i+1} - x_i} \right) \\
&\quad - f'(x_i)(x_{i+1} - x_i) \psi \left(\frac{x_{i+1} - x}{x_{i+1} - x_i} \right) + f'(x_{i+1})(x_{i+1} - x_i) \psi \left(\frac{x - x_i}{x_{i+1} - x_i} \right)
\end{aligned}$$

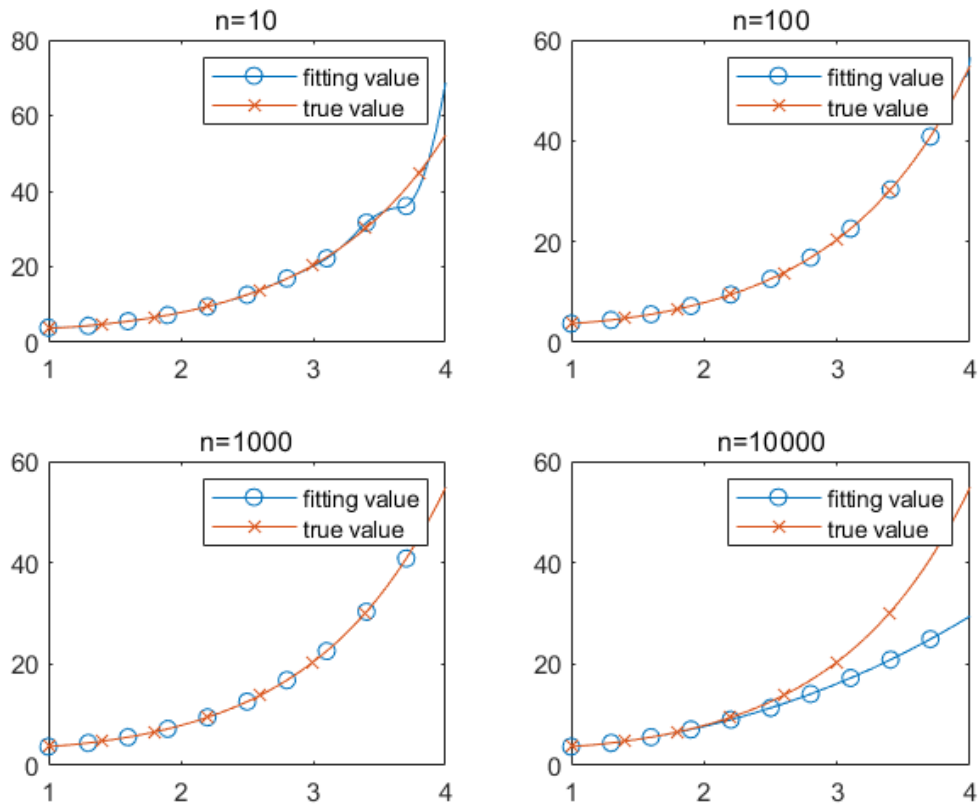
With $\phi(x) = -2x^3 + 3x^2, \psi(x) = x^3 - x^2$

如果要求获得导数值, 可以用如下公式计算,

$$\begin{aligned}
f'_i(x) &= -\frac{f(x_i)}{x_{i+1} - x_i} \phi' \left(\frac{x_{i+1} - x}{x_{i+1} - x_i} \right) + \frac{f(x_{i+1})}{x_{i+1} - x_i} \phi' \left(\frac{x - x_i}{x_{i+1} - x_i} \right) \\
&\quad + f'(x_i) \psi' \left(\frac{x_{i+1} - x}{x_{i+1} - x_i} \right) + f'(x_{i+1}) \psi' \left(\frac{x - x_i}{x_{i+1} - x_i} \right)
\end{aligned}$$

With $\phi'(x) = -6x^2 + 6x, \psi'(x) = 3x^2 - 2x$.

设计数值实验, n 为插值点的数目, 对比导数的拟合值和真实值, 绘制如下图



可以看到当 n 选取过小或者过大都会导致效果不好。

Problem 3

直接验证即可，

$$F_n = \begin{pmatrix} w_n^0 & w_n^0 & w_n^0 & \cdots & w_n^0 \\ w_n^1 & w_n^2 & w_n^3 & \cdots & w_n^n \\ w_n^2 & w_n^4 & w_n^6 & \cdots & w_n^{2n} \\ \vdots & \vdots & \vdots & \ddots & \vdots \\ w_n^n & w_n^{2n} & w_n^{3n} & \cdots & w_n^{n^2} \end{pmatrix}, J_n = \begin{pmatrix} 0 & 1 & 0 & \cdots & 0 \\ 0 & 0 & 1 & \cdots & 0 \\ 0 & 0 & 0 & \cdots & 0 \\ \vdots & \vdots & \vdots & \ddots & \vdots \\ 1 & 0 & 0 & \cdots & 0 \end{pmatrix}$$

那么有，

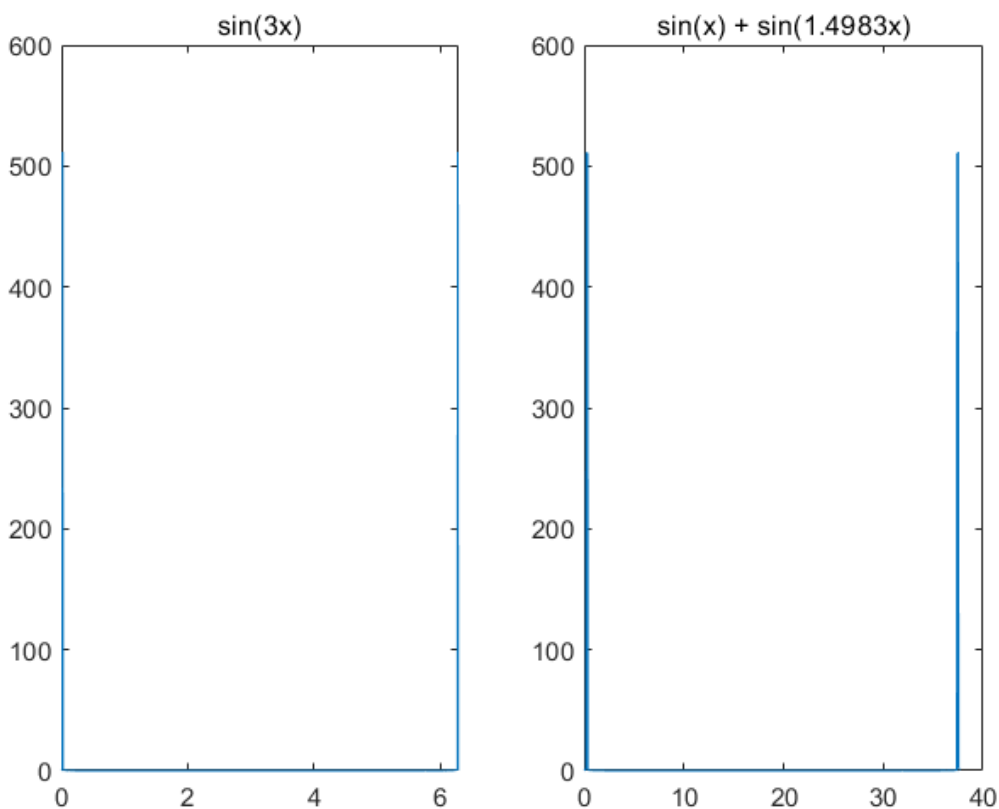
$$\begin{aligned}
J_n F_n &= \begin{pmatrix} 0 & 1 & 0 & \cdots & 0 \\ 0 & 0 & 1 & \cdots & 0 \\ 0 & 0 & 0 & \cdots & 0 \\ \vdots & \vdots & \vdots & \ddots & \vdots \\ 1 & 0 & 0 & \cdots & 0 \end{pmatrix} \begin{pmatrix} w_n^0 & w_n^0 & w_n^0 & \cdots & w_n^0 \\ w_n^1 & w_n^2 & w_n^3 & \cdots & w_n^n \\ w_n^2 & w_n^4 & w_n^6 & \cdots & w_n^{2n} \\ \vdots & \vdots & \vdots & \ddots & \vdots \\ w_n^n & w_n^{2n} & w_n^{3n} & \cdots & w_n^{n^2} \end{pmatrix} \\
&= \begin{pmatrix} w_n^1 & w_n^2 & w_n^3 & \cdots & w_n^n \\ w_n^2 & w_n^4 & w_n^6 & \cdots & w_n^{2n} \\ w_n^3 & w_n^6 & w_n^9 & \cdots & w_n^{3n} \\ \vdots & \vdots & \vdots & \ddots & \vdots \\ w_n^0 & w_n^0 & w_n^0 & \cdots & w_n^0 \end{pmatrix} \\
&= \begin{pmatrix} w_n^1 & 0 & 0 & \cdots & 0 \\ 0 & w_n^2 & 0 & \cdots & 0 \\ 0 & 0 & w_n^3 & \cdots & 0 \\ \vdots & \vdots & \vdots & \ddots & \vdots \\ 0 & 0 & 0 & \cdots & w_n^n \end{pmatrix} \begin{pmatrix} w_n^0 & w_n^0 & w_n^0 & \cdots & w_n^0 \\ w_n^1 & w_n^2 & w_n^3 & \cdots & w_n^n \\ w_n^2 & w_n^4 & w_n^6 & \cdots & w_n^{2n} \\ \vdots & \vdots & \vdots & \ddots & \vdots \\ w_n^n & w_n^{2n} & w_n^{3n} & \cdots & w_n^{n^2} \end{pmatrix} \\
&= D_n F_n
\end{aligned}$$

也即,

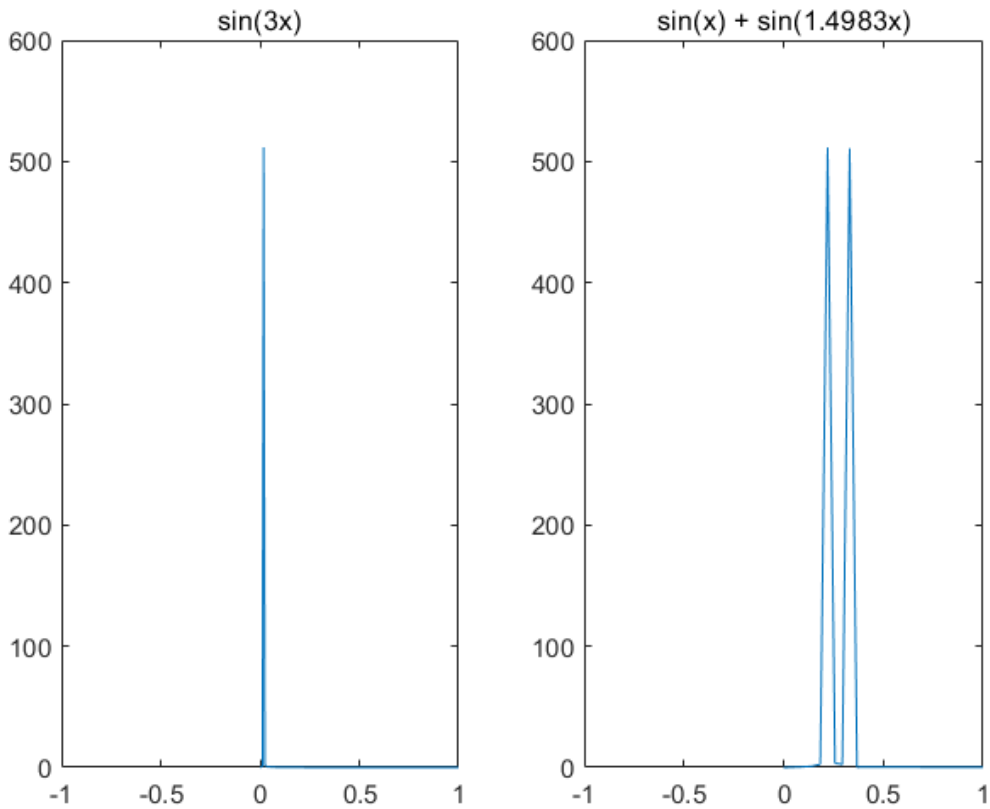
$$F_n^{-1} J_n F_n = D_n$$

Problem 4

使用MATLAB自带的 `fft` 函数绘制出傅里叶变换后的功率谱,



放大可以看见左图在原点附近仅有连续的单峰, 而右图在原点附近出现连续的双峰,



下面解释该现象，首先对连续的傅里叶变换进行解释，考虑冲激函数的逆傅里叶变换，

$$\text{IFT}(\delta(s - s_0)) = \frac{1}{2\pi} \int_{-\infty}^{\infty} \delta(s - s_0) \exp(its) ds = \frac{1}{2\pi} \exp(its_0).$$

根据傅里叶变换和逆傅里叶变换的一一对应，

$$\text{FT}(\exp(its_0)) = 2\pi\delta(s - s_0).$$

利用欧拉公式可以求得正弦函数的傅里叶变换，

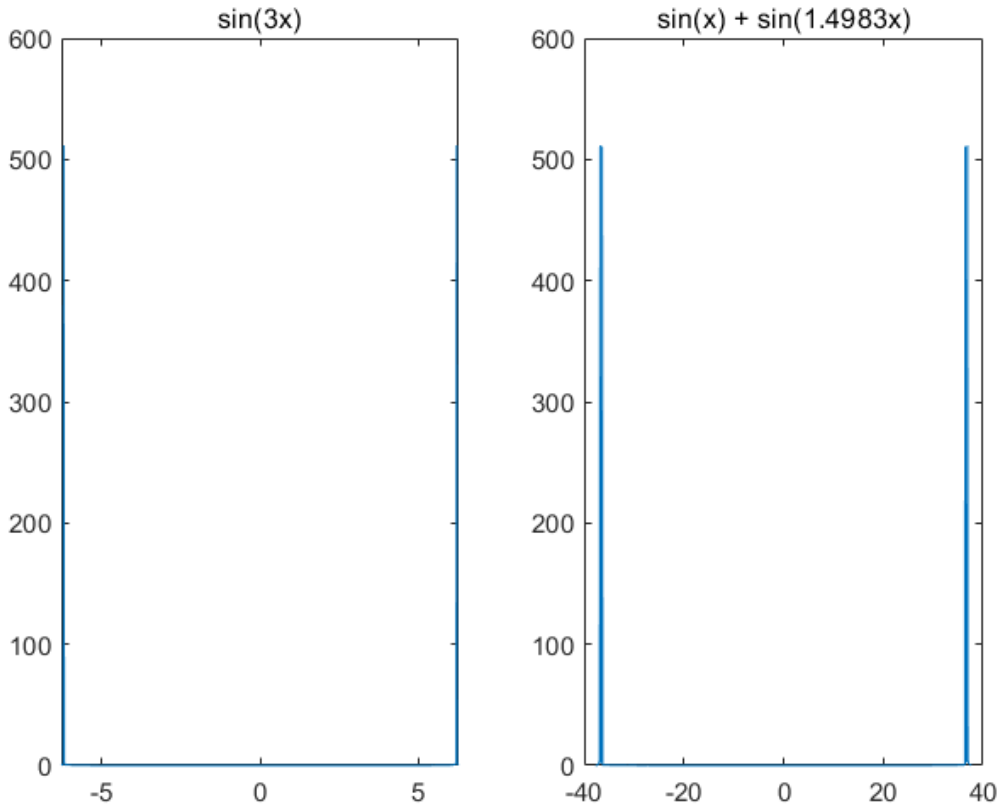
$$\sin(s_0 t) = \frac{\exp(is_0 t) - \exp(-is_0 t)}{2i} = i\pi\delta(s + s_0) - i\pi\delta(s - s_0)$$

而且傅里叶变换具有线性性质，可以通过定义验证，

$$\text{FT}(af(t) + bg(t)) = a\text{FT}(f(t)) + b\text{FT}(g(t)).$$

从上述的推导可以看出，傅里叶变换将不同正弦函数的分离开来，因此出现上图的现象，当然对于余弦函数同样成立。

我们还可以看到功率谱关于原点对称，如下图所示，



这是由于傅里叶变换关于实函数是共轭对称的,

$$F(s) = \int_{-\infty}^{\infty} f(t) \exp(-its) dt = F^*(-s)$$

因此其功率谱关于原点中心对称,

$$|F(s)| = |F(-s)|$$

上述的解释仍然不完全严谨, 由于在数值实验中, 我们采用等距结点对原函数进行采样, 我们关心采样后的函数的傅里叶变换, 记原函数为 $f(t)$, 采用周期为 ΔT 的冲激串 $s_{\Delta T}$ 对其进行采样, 记采样后的函数为 $\tilde{f}(t)$, 假设我们已知 $f(t)$ 的傅里叶变换为 $F(s)$, 我们关心 $\tilde{f}(t)$ 的傅里叶变换 $\tilde{F}(s)$ 的表达式,

对于冲激串, 为周期为 ΔT 的周期函数, 可以对其进行傅里叶展开, 惊喜地发现级数前每一项系数都为 $1/\Delta T$,

$$s_{\Delta T} = \frac{1}{\Delta T} \sum_{n=-\infty}^{\infty} \exp(i \frac{2\pi n}{\Delta T} t)$$

其傅里叶变换为为周期为 $2\pi/\Delta T$ 的冲激串,

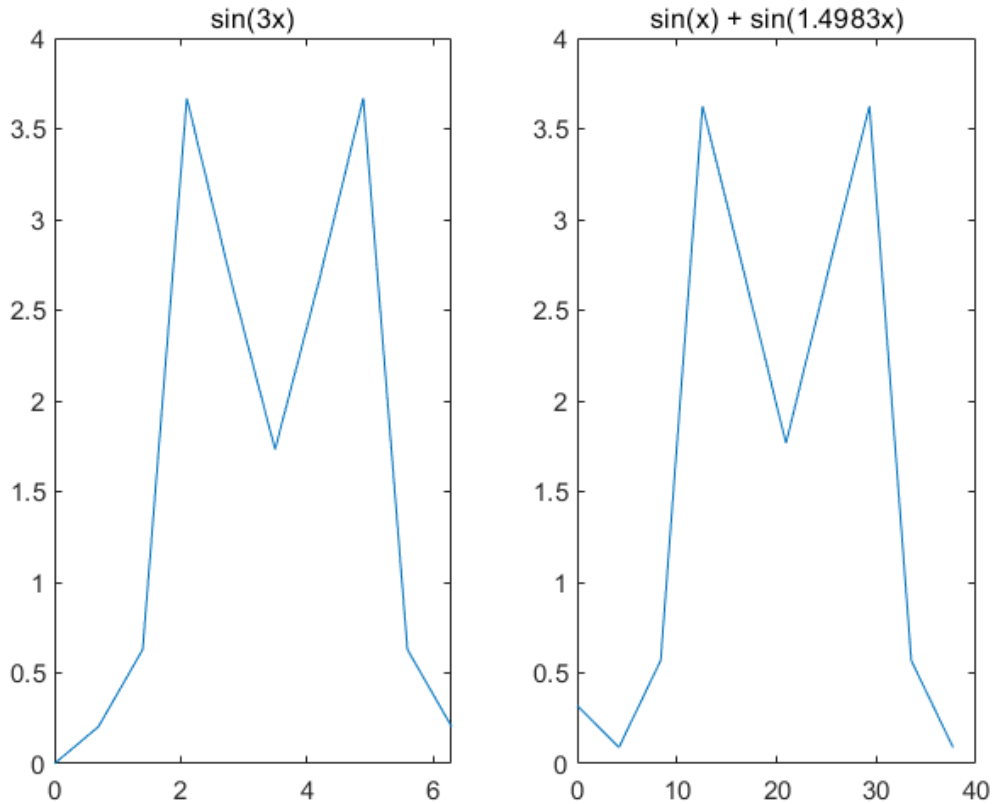
$$S_{\Delta T}(s) = \text{FT}(s_{\Delta T}) = \frac{1}{\Delta T} \sum_{n=-\infty}^{\infty} \text{FT}(\exp(i \frac{2\pi n}{\Delta T} t)) = \frac{2\pi}{\Delta T} \sum_{n=-\infty}^{\infty} \delta(s - \frac{2\pi n}{\Delta T})$$

利用卷积定理,

$$\begin{aligned}
\tilde{F}(s) &= \text{FT}(\tilde{f}(t)) \\
&= \text{FT}(f(t) \odot s_{\Delta T}(t)) \\
&= F(s) \otimes S_{\Delta T}(s) \\
&= \frac{2\pi}{\Delta T} \int_{-\infty}^{\infty} F(x) \sum_{n=-\infty}^{\infty} \delta(s - x - \frac{2\pi n}{\Delta T}) dx \\
&= \frac{2\pi}{\Delta T} \sum_{n=-\infty}^{\infty} \int_{-\infty}^{\infty} F(x) \delta(s - x - \frac{2\pi n}{\Delta T}) dx \\
&= \frac{2\pi}{\Delta T} \sum_{n=-\infty}^{\infty} F(s - \frac{2\pi n}{\Delta T})
\end{aligned}$$

从上式中可以看到 $\tilde{F}(s)$ 是 $F(s)$ 的一个周期为 $2\pi/\Delta T$ 的无限拷贝，因此在未放大的图中我们正好看到了两个周期。

由于 $\tilde{F}(s)$ 的周期为 $2\pi/\Delta T$ ，如果采样的间距过小，会出现混淆的情况，例如在上述实验中取 $n = 10$ ，可以看到



上述的推导针对的是连续的傅里叶变换，但在实际中使用的是离散的傅里叶变换，那么上述的性质对于离散的傅里叶变换是否仍然成立的，为了说明这一点，可以考虑连续傅里叶变换到离散的傅里叶变换之间的联系，参见书中的结论，离散傅里叶变换可以看作是对 $\tilde{F}(s)$ 的一个周期进行等距采样的结果，

$$\begin{aligned}
\tilde{F}(s) &= \int_{-\infty}^{\infty} \tilde{f}(t) \exp(-its) dt \\
&= \int_{-\infty}^{\infty} \sum_{n=-\infty}^{\infty} f(t) \delta(t - n\Delta T) \exp(-its) dt \\
&= \sum_{n=-\infty}^{\infty} \int_{-\infty}^{\infty} f(t) \delta(t - n\Delta T) \exp(-its) dt \\
&= \sum_{n=-\infty}^{\infty} f(n\Delta T) \exp(-in\Delta Ts)
\end{aligned}$$

实际中，我们并不可能对 $n = -\infty \sim +\infty$ 求和，因此只能选择考虑有限求和，此时也相当于考虑一个带限函数的傅里叶变换，记对原函数所采样的点为 $f_n, n = 0, \dots, N-1$ ，我们已经知道 $\tilde{F}(s)$ 的一个周期为 $2\pi/\Delta T$ ，考虑我们在该周期中采集 $\tilde{F}(s)$ 的 N 个样本，对应所采集到的点位为 $F_m, m = 0, \dots, N-1$ ，那么

$$F_m(s) = \sum_{n=0}^{N-1} f_n \exp(-\frac{i2\pi mn}{N}).$$

即为离散傅里叶变换的表达式。

因此，离散傅里叶变换的结果，可以看作对连续的傅里叶变换采样后的结果，因此上述对于连续傅里叶变换的分析可以仍然适用。